論文 プレストレスト (鉄筋) コンクリート曲げ部材のひび割れ性状に 関する解析的検討

小島 一高*1·中塚 信*2·坂田 博史*3

要旨:最近,アンボンド鋼材や高強度コンクリートが多用される趨勢がある。しかし,付着特性,コンクリート強度,プレストレス量などがPC~RC部材設計上の重要な指標であるひび割れ性状におよぼす影響については十分解明されていない。本研究は,非線形2次元有限要素法解析によって上記要因が部材の曲げひび割れ間隔におよぼす影響を,主に付着に注目して考察したもので,まず既往の実験結果によって本 FEM 解析の妥当性を示した。同時に,付着強度とコンクリート引張強度の相対関係および付着剛性はひび割れ間隔に大きな影響を与えるが,プレストレス量の影響度は低いことなどを解析的に明らかにした。

キーワード: PRC, PC, 有限要素法, 曲げひび割れ間隔, 付着, コンクリート強度

1. はじめに

プレストレストコンクリート(PC)〜鉄筋コンクリート(RC)部材の設計において、曲げひび割れ性状は使用限界状態のひび割れ幅ばかりでなく、終局限界状態の曲げ圧縮部コンクリートの力学特性にも関係する ¹⁾重要な設計指標である。一方最近、アンボンド方式や各種の特性が得られるシース・グラウト方式などによって、付着特性が異形鉄筋で代表されるような固定的なもので無くなりつつある。また高強度コンクリートなどが多用される趨勢にあるが、PC〜RC 部材のひび割れ性状におよぼす付着特性、コンクリート強度、プレストレス量などの影響は論理的に十分明確にされていない。

本研究は、分布ひび割れ系の非線形 2 次元有限要素法(FEM)解析によって、それら諸要因が部材のひび割れ性状におよぼす影響を明らかにする第 1 段階として、曲げひび割れ間隔におよぼす影響について調べたものである。

2. 解析方法の概要

2.1 要素分割

本解析では、非線形 2 次元有限要素法解析ソフト(TOTAL-RC)を使用した。コンクリートには 8 節点アイソパラメトリック平面応力要素、鉄筋には弾塑性トラス要素を用い、鉄筋とコンクリートとの間には 6 節点アイソパラメトリック板ボンド要素を設けて付着破壊を考慮するもので、要素分割の状況を図ー1に示す。

2.2 材料特性

本解析で想定したコンクリート、および付着の材料特性を図ー2に示す。コンクリートの圧縮応力上昇部分には Kupfer のモデルを用い、最大圧縮強度以降は軟化を考慮した 2 直線モデルとした。圧縮破壊の発生基準には 2 軸応力場に対する大沼ら²⁾によるものを採用した。引張領域では、ひび割れ発生は最大引張応力基準に従うとし、ひび割れ発生後の引張軟化特性、および除荷・再結モデルは、吉川らのモデル³⁾を用いて、分布ひび割れモデルでのひび割れの局所化状態を表現した。なお、破壊エネルギーは土木学会式⁴⁾で与えられるとした。鉄筋の降伏条件式にはVon-Mises の降伏条件を用いた。鉄筋とコンクリート界面に設けた板ボンド要素のせん断応力

^{*1} 大阪大学大学院 工学研究科建築工学専攻 (正会員)

^{*2} 大阪大学大学院 工学研究科建築工学専攻助教授 工博 (正会員)

^{*3} 建研㈱ 事業部大阪設計部 (正会員)

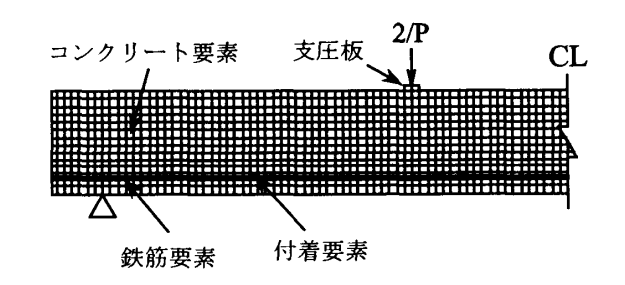
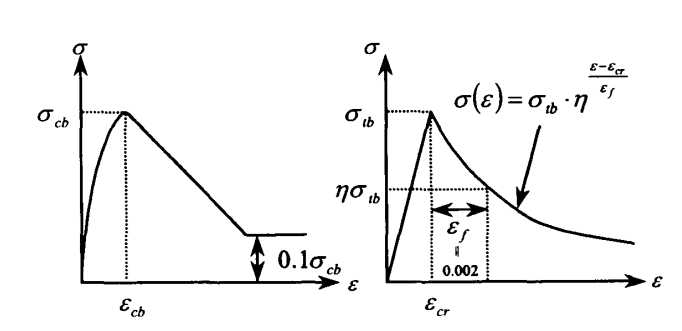
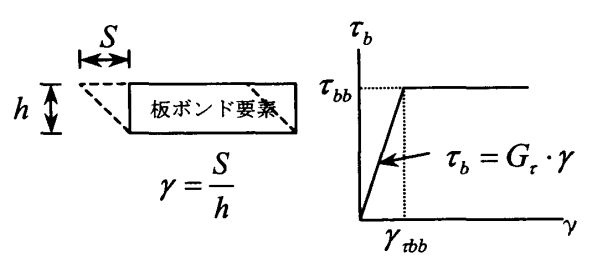


図-1 要素分割図



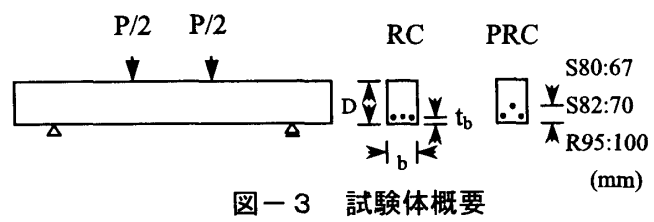
- (a) コンクリート圧縮特性
- (b) コンクリート引張特性



(c) 鉄筋とコンクリートの付着特性

図-2 材料特性

 τ_b (N/mm²)ーせん断歪 γ 関係は図-2 (c) のようにバイリニア型とした。



3. 解析方法の妥当性の検討

3.1 解析対象試験体の概要

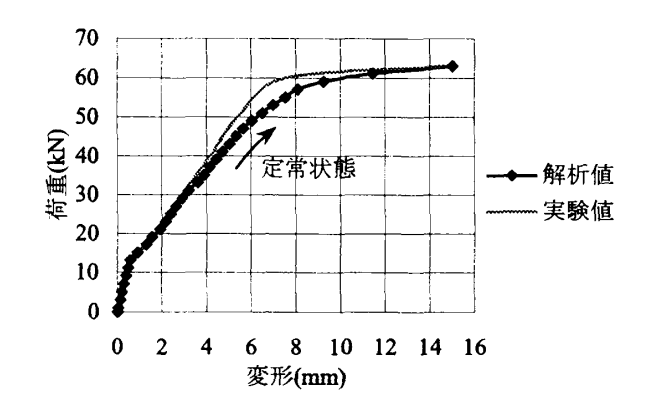
FEM 解析の妥当性を検討するために用いた既往研究での試験体 (S80 6), S82 71 , MO63 8), R95 9), MA94 10) は,図-3に示すように,長方形断面を有する PC \sim PRC \sim RC の単純梁である。断面等の詳細は表-1に示すが,鉄筋種は D6 \sim D22で,コンクリート強度 σ_{cb} は21.2 \sim 55.2(N/mm 2), 引張鉄筋比 p_t は 0.13 \sim 2.7%,引張有効鉄筋比 p_e は 0.13 \sim 2.7%,引張有効鉄筋比 p_e は p_e は 0.13 p_e である。また,平均プレストレスレベル(p_e p_e

解析に当たっては,分割要素大きさを横×高さが 15mm×15mm 程度になるように設定した。また,殆どの試験体の σ_{cb} が 30(N/mm²)程度なので,付着特性は既往の鉄筋および PC 鋼材の片引き試験の付着応力 τ (N/mm²)ーすべり量S (mm)の関係 50を参考にして定めた。すなわち付着強度 τ_{bb} は異形鉄筋 7 (N/mm²),丸鋼で 3(N/mm²),PC 鋼棒-グラウトで 1 (N/mm²)とし,せん断付着剛性 G_r はいずれも 6 (N/mm²)とした。 σ_{cb} および鉄

表一1 各試験体モデルの概	要	概	D	O	JL	デ	Ŧ	体	試験	各	1	_	表
---------------	---	---	---	---	----	---	---	---	----	---	---	---	---

試験体	試験体	等曲げ	初青百	梁		コンク	引	張鉄筋		
シリー	数(内	スパン	梁幅 (b)	せい	t _b ^{※1}	リート	種類と	鉄筋	比	備考
ズ名	PRC,PC	長	(0)	(D)		強度	本数	pt	pe	(実験要因等)
	の数)	(mm)	(mm)	(mm)	(mm)	(MPa)	个妖	(%)	(%)	
S80	5(4)	600	120	200	30	30.4	2-D6~	0.13~	0.8~	n G
200	5(4)	000	120	200	30	30.4	2-D13	1.2	3.5	p _{e,} , σ _g
S82	5(4)	600	120	240	30	33.7	2-D10~	0.64~	2.0~	n a
302	3(4)	000	120	240	30	33.1	2-D22	2.6	7.3	p _{e,} , σ _g
MO63	7	700	200	250	30	28.3	1-D16~	0.65~	2.4~	
INIOO3	,	700	200	230	30	20.3	3-D19	2.0	7.2	P _e
Dos	17(0)	000	130~	200~	38~	21.2~	2-D13~	0.59~	1.8~	pe,, σ cb,梁せい,
R95	17(2)	800	170	500	68.5	55.2	2-D16	2.1	5.5	t_b, σ_g ,二段配筋
36404		(1500	150	300	35~	29.1~	2-D13~	0.64~	2.4~	
MA94	6	1500	150		51.7	31.3	2-D22	2.7	7.5	p _e ,二段配筋

^{※14:}引張縁一鉄筋重心距離



図ー4 S80 RC 試験体の荷重-変形関係

筋降伏強度には実験値を使用した。また、解析は荷重増分を $\triangle P=2$ (kN) (MA94 の一部は 4(kN)) とし、等曲げ区間で主ひび割れ間隔が変化しなくなったときの平均ひび割れ間隔 I_{cv} を求めた。

3.2 解析結果と考察

- (1) 荷重-変形関係: **図-4**に本解析で得られた試験体の荷重-変形の例を示すが、対象とするひび割れ定常状態付近まで実験結果を良好に追跡していると思われる。
- (2) ひび割れ間隔:図-5は,各試験体の実験値とFEM解析で得た解析値を比較したものである。同図によれば,若干対応の悪いものも見られるが,解析値は実験値を大略±20%以内の精度で推定できている。この精度は図-6に示すPRC指針式¹¹⁾の精度(同式誘導にあたって用いたデータ(S80,MO63)も含まれている)と同程度であり,このことから本解析法は十分妥当なものと判断される。

4. 平均ひび割れ間隔 (lav) に対する各種要因の 影響

4.1 解析概要

断面が 120mm×200mm でスパンが 1800mmの 梁(図-3参照)を用いて,鉄筋の付着特性(強度 au_{bb} , せん断剛性 G_{r}), コンクリート(もしくは グラウト)の引張強度 σ_{tb} , 平均プレストレス量 σ_{g} が PRC \sim RC 部材の平均ひび割れ間隔におよぼす影響を,本 FEM 解析によって調べた。

取り上げた解析要因と水準を表-2に示す。

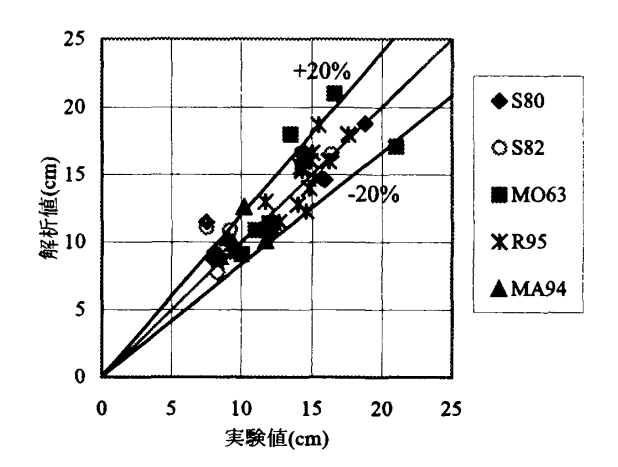


図-5 解析結果の対応性

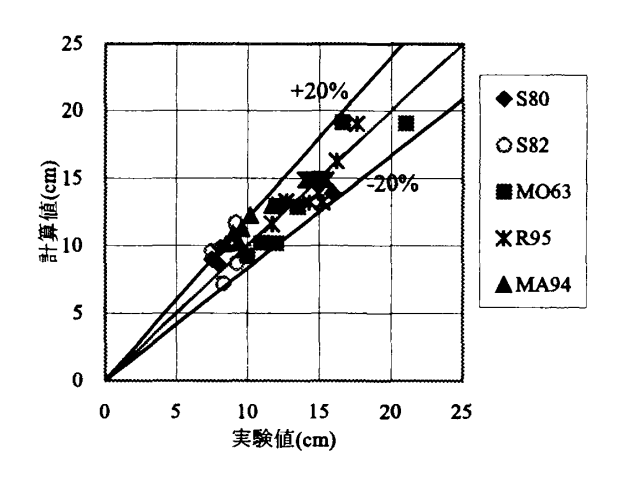
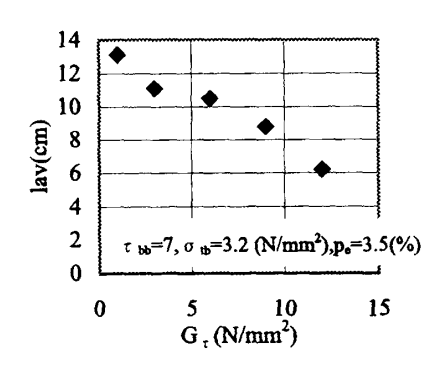


図-6 PRC 指針による算定式の対応性

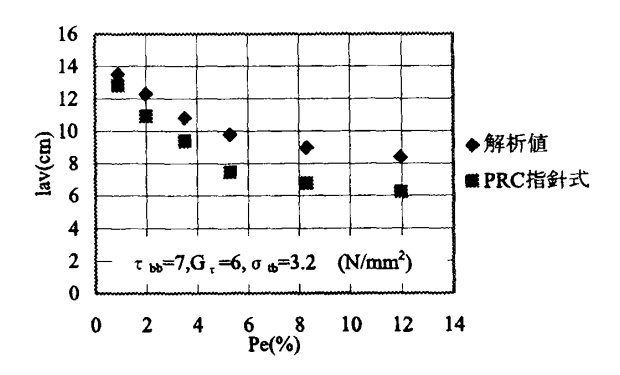
なお、その他の必要力学特性は 3.**妥当性の検討** に用いた試験体 S80 の値を用いた。すなわち、圧縮強度が 30.4 (N/mm^2)、ヤング係数 $2.64 \times 10^4 (N/mm^2)$ のコンクリート、及び 2-D13 と D6 が配筋された断面を用いた。なお、平均プレストレス量 σ_g についての解析の場合には 2-D10 をもつ断面を用いた。また等曲げ区間内の要素寸法は横×高さを $15(mm) \times 12 \sim 15(mm)$ とした。

表一2 解析要因一覧

解析要因	パラメータ
付着強度 τ bb(N/mm²)	0.01, 0.1, 1, 1.5, 2, 4, 7
せん断付着剛性 G _τ (N/mm²)	1, 3, 6, 9, 12
引張有効鉄筋比 p _e (%) (鉄筋種数)	1.8, 2.8, 3.5, 5.3, 8.3, 12 (2-D6~3-D19)
引張強度 σ tb(N/mm²)	2.4, 3.2, 4, 5, 6, 7, 10, 12, 15
平均プレストレスレベル σg/σcb	0 ~0.14



図ーフ せん断付着剛性 G_xと lav との関係



図一8 引張有効鉄筋比 pe と lav との関係

4.2 結果および考察

(1) せん断付着剛性(G_r)と引張有効鉄筋比 (p_e)の影響

図ー7は、解析梁において付着要素の τ_b $-\gamma$ 関係における勾配 G_τ のみが異なるとき、 l_{av} がどのように変化するかを調べたものである。 G_τ はグラウト(コンクリート)・鉄筋間の τ -S 関係の剛性および総周長(引張鉄筋量)に関係する。同図によれば、 G_τ の増加に対し l_{av} はほぼ線形的に減少する傾向が見られる。これは、付着剛性が大きい場合、すべり変位が小さくても大きな付着応力が伝達されるため、コンクリートが引張強度に達する定着長が短くなるためと考えられる。図 -8 は、付着剛性と関連する引張有効鉄筋比 p_e と l_{av} との関係を示したものである。同図中には式(1)に示す PRC 指針式 $^{11)}$ による結果も示しているが、 p_e の増大に対する l_{av} の減少傾向はほぼ一致している。

$$l_{av} = 2(c + s/10) + 0.1\phi/p_e$$
 (1)

(c はコンクリートの側面と底面のかぶり厚さの

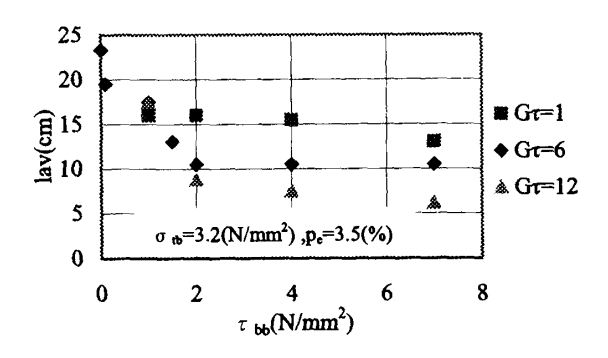


図-9 付着強度 T bb と lav との関係

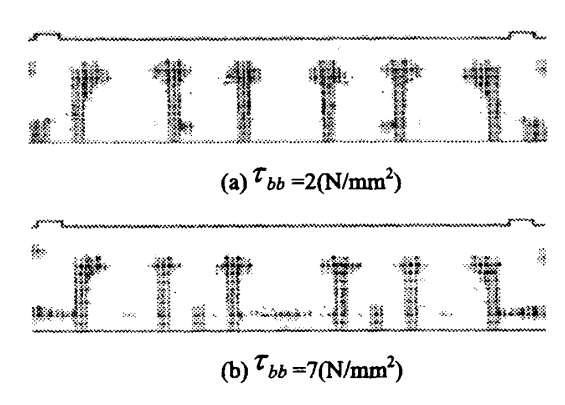


図-10 付着強度によるひび割れ性状の違い

平均, s は鉄筋の中心間隔, φは鉄筋の周長)

(2) 付着強度 (τ_{bb}) の影響

図-9は、断面および引張コンクリート強度 は同じだが、鉄筋がシースを介して配筋されて 充填グラウト強度のみが異なる場合のように、 付着強度 τ_{bb} が変化するとき、 l_{av} が τ_{bb} によって、 どのように変化するかを、せん断付着剛性 G_r を パラメータにとって示したものである。同図に よれば、いずれの G_{τ} の時でも、 l_{av} は au_{bb} の増加 によって減少するが、 G_{τ} に依存するある τ_{bb} 以 上になるとほぼ一定値を示す傾向が見られる。 これは、 au_m が増大しても鉄筋周囲のコンクリー トが引張破壊して、ひび割れ区間での平均的な 付着応力が低下することに起因する現象と推測 される。また図-10は、図-9の同じせん断付 着剛性(G_r =6(N/mm²))において、 l_m がほぼ一定 となる付着強度範囲で、付着強度のみが異なる 梁の同一鉄筋応力時のひび割れ状況を示したも のであるが、 τ_{hh} の増加に対し、主ひび割れ間の 2次的ひび割れが増加していることが見られる。 このことは、コンクリートの引張強度に対し付

着強度が相対的に大きい場合, 鉄筋周囲 のコンクリートに付着を介して十分な 引張応力が伝達されて 2 次的ひび割れ が発生することを推測させる。

(2) コンクリート引張強度(σ_{tb})の 影響

図ー11 は、付着特性が同一で σ_{tb} のみが変化するとき、 l_{av} がどのように変化するかを、付着強度 τ_{bb} をパラメータにとって示したものである。同図から次の

ような傾向が見られる。 $[1] au_{bb}$ が同じならば, σ_{n} が小さいほど l_{av} は小になると推測されるが, σ_{th} がある強度に達するまで I_{tot} は殆ど変化しな い。この結果は、鉄筋が同時打ちされて τ_{bb} が比 象として導かれた PRC 指針の l_m式 (式(1)参照) でコンクリート強度がファクターになっていな いことに符合している。 $[2]\sigma_{th}$ がさらに増大する と l_{av} は急増する。これは、 τ_{bb} に対し σ_{bb} が高い ためにコンクリートが引張破壊する前に付着特 性が塑性化して, 必要な鉄筋張力を確保するた めの区間を増加させるためと考えられる。 $[3]\sigma_{\mu}$ が au_{bb} に比べ相対的に非常に大きい場合, al_{av} は au_{bb} が殆ど零(0.01(N/mm 2))の場合のそれに収束 する傾向が見られる。 $[4]I_{m}$ の変化点に対応する σ_{tb} は τ_{bb} が小さいほど小さい傾向が見られる。

なお、図-11 中の τ_{bb} が殆ど零の場合、 σ_{tb} の増大に対して l_{av} が殆ど変化しない区間が見られるが、これは付着によらずとも、ひび割れ位置断面におけるコンクリートの曲げ圧縮力によってコンクリートに曲げひび割れが生ずることを示唆していると思われる。

図-12 は、同じ τ_{bb} ($7(N/mm^2)$)において σ_{tb} が異なるときのひび割れ性状を比較したものであるが、同図からも上記[1]~[4]の現象は、4.2(1) で述べたように、付着強度とコンクリート引張強度の相対関係に依存するものと推測される。 図-11,12 の結果はシース・グラウト法によって、ひび割れ間隔が制御できることを示唆している。

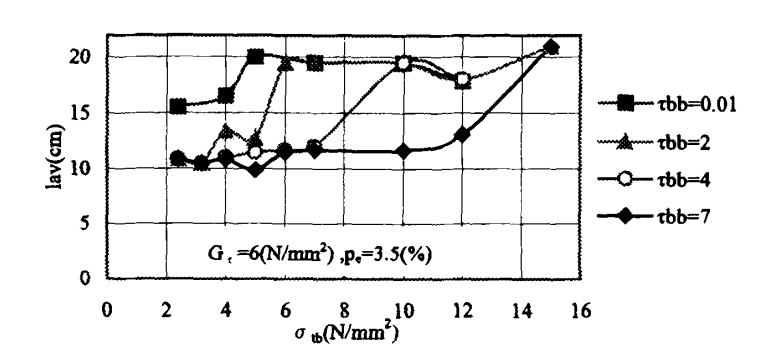


図-11 引張強度 otb と lav の関係

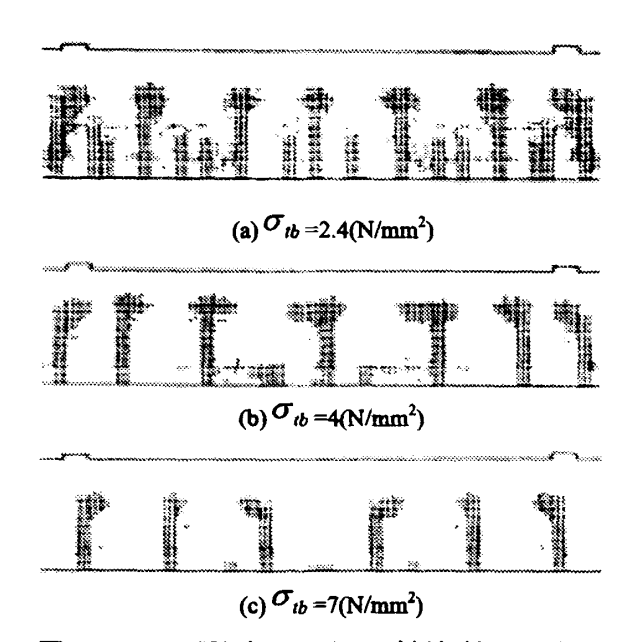


図-12 引張強度によるひび割れ性状の違い

(4) 平均プレストレス量 (σ_g) の影響

図ー13 は、アンボンド鋼材によって同一 RC 梁断面の核半径位置に、プレストレス力を作用させたとき、平均プレストレス量 σ_g の増大による l_{av} の変化を、鉄筋張力同一時について調べたものである。 σ_g の増加による中立軸深さ x_n の増大によって、2次的ひび割れの一部が主ひび割れ化し主ひび割れ本数の増加が期待されるが、同図によれば l_{av} は σ_g の影響を余り受けず、既往の研究結果 8 と符合する。これは図ー14に示すように、主ひび割れおよび 2次的ひび割れの高さが双方とも σ_g の増加に従って減少し、引張鉄筋に起因する主ひび割れ性状には影響しなかったためと推測される。

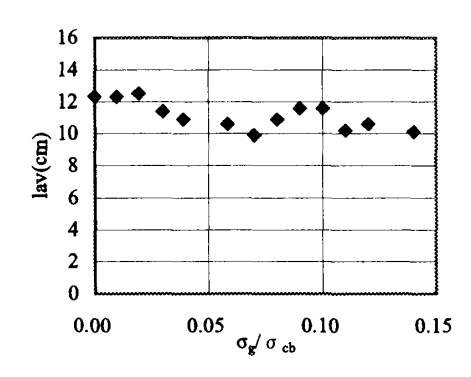


図-13 σ_g と l_{av} の関係

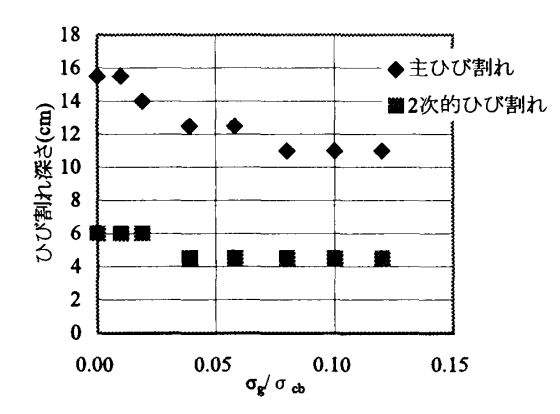


図-14 σ_g とひび割れ深さの関係

5. まとめ

分布ひび割れ系の非線形2次元有限要素法 (FEM)解析による PC ~RC 部材の曲げひび割れ 間隔に対する検討から以下の知見を得た。

- 1) 既往の PC \sim RC 単純梁実験結果を用いて,本 FEM 解析による平均ひび割れ間隔 l_{av} の推定は, [1]PRC 指針等が特徴とする l_{av} にコンクリート引張強度 σ_{lb} が関係しない傾向, および [2]PRC 指針式と同程度の推定精度を有することを示した。
- 2) l_{av} には、付着強度 τ_{bb} と σ_{tb} の相対関係によって、 τ_{bb} と σ_{tb} に関わらずほぼ一定となる領域、 τ_{bb} と σ_{tb} に関係して増加する領域が存在することを示した。
- 3) l_{av} が σ_{tb} に関係しない理由として, τ_{bb} と σ_{tb} の相対関係に密接に関係する鉄筋周辺のコンクリート(グラウト)の 2 次的ひび割れによる平均的な付着応力の低下が考えられる。
- 4) プレストレスの増大は、主ひび割れおよび2

次的ひび割れ深さのいずれも減少させるので、 I_m には殆ど関係しないと考えられる。

謝辞:本研究は PC 付着研究会・FEM 解析 WG (構成:大阪大学助教授:中塚佶,オリエンタル建設㈱,㈱ピーエス三菱,㈱フドウ建研)の共同研究として行ったものである。また㈱トータル・インフォメーション・サービスには種々ご配慮を頂いた。付記して謝意を表します。

参考文献

- 1) 中川明徳, 中塚佶, 大西広朗: 圧着型PC梁の 塑性ヒンジ機構に関する実験的研究, コンクリ ート工学年次論文報告集 Vol25-2, pp721-726, 2003
- 2) 岩崎訓明, 西林新蔵, 青柳征夫: 新体系土木工 学29 フレッシュコンクリート・硬化コンクリ ート, 技報堂出版, pp.107
- 3) 吉川弘道, 西藤厚, 金刀督鈍: 引張強度の空間 的変動を考慮したコンクリートのFEM破壊シ ミュレーション, コンクリート工学論文報告集, 第7巻第2号, pp.103~117, 1996
- 4) 日本土木学会: 土木学会コンクリート標準示方 書 構造性能照査編, p27
- 5) 異形鉄筋コンクリート設計法研究会: 異形鉄筋 コンクリート設計法, 技報堂, pp.26~27, 1971
- 6) 鈴木計夫,大野義照,佐田裕之:プレストレスト鉄筋コンクリートはりの曲げ性状について,コンクリート工学年次講演会講演論文集(第2回),pp.385~388,1980
- 7) 鈴木計夫,大野義照,姫野洋一:PRC梁部材の 繰り返し荷重下の曲げひび割れ性状に関する 実験的研究,日本建築学会近畿支部研究報告集, pp.145~148, 1982.6
- 8) 六車熙, 森田司郎: 鉄筋コンクリート梁の変形 ときれつ, 日本建築学会論文報告集, 第90号, pp13~18, 1963.9
- 9) 劉鍵, 大野義照, 李振宝, 鈴木計夫: 鉄筋コンクリート梁の曲げひび割れ幅に及ぼす各種要因の影響, コンクリート工学年次論文報告集, Vol.17, No2, pp1019~1024, 1995
- 10) 趙唯堅, 丸山久一: 多段配筋を有する鉄筋コンクリートはりの曲げひび割れ性状に関する実験的研究, 土木学会論文集, No.490/ V-23, pp.135~145, 1994.5
- 11) 日本建築学会:プレストレスト(鉄筋)コンクリート(Ⅲ種PC) 構造設計・施工指針・同解説, 2003